

$\partial n = B$

IV p33. - 162 POLYMORPHISM OF ABO_3 TYPE RARE EARTH BORATES. Ernest M. Levin, Robert S. Roth, and Jerry B. Martin (National Bureau of Standards, Washington, D. C.). Am. Mineralogist, 46: 1030-55(Sept.-Oct. 1961).

1961

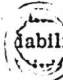
-Sopatbe

Polymorphic relations were investigated as functions of temperature and ionic radius for 13 ABO_3 type borates, including all of the normally trivalent rare earth ions as well as La^{3+} , Y^{3+} , In^{3+} , and Mn^{3+} . The melting points of the compounds varied irregularly from 1660°C for LaBO_3 to 1540°C for EuBO_3 . In general, the borate compounds exhibited the same structure types as the three forms of CaCO_3 , aragonite, vaterite, and calcite. Compounds of the larger ions, LaBO_3 and NdBO_3 , showed the aragonite-type structure at low temperature. These compounds were found to have a reversible transformation at 1488 and 1090°C, respectively. The high temperature forms were different, and both exhibited low symmetry. The following borates showed a stable vaterite-type phase: SmBO_3 , EuBO_3 , GdBO_3 , DyBO_3 , YBO_3 , HoBO_3 , ErBO_3 , TmBO_3 , YbBO_3 , and LuBO_3 . Above 1285°C, SmBO_3 inverted to the high NdBO_3 type polymorph. Below 1310°C, LuBO_3 formed

NSA-1962

Call.
ref. 5.

the calcite-type structure. No polymorphism was observed in the eight intermediate borates. Indium borate showed only the calcite type structure. A discussion of the factors affecting polymorphism, such as radius ratio, density, and pressure, in addition to interpretation of infrared and structure data, may explain why the vaterite-type structure is more stable in the borates than in the carbonates. Unit cell dimensions are listed for indexed x-ray diffraction powder patterns, together with limited optical data. Published x-ray powder data for vaterite are compared. (auth)



1961

III

ВЗЭ

бораты

Р. З. Э.

T-12B15. Получение и свойства некоторых боратов редкоземельных элементов. Felton E. J. Preparation and properties of some rare earth borates. «J. Inorg. and Nucl. Chem.», 1961, 19, № 1-2, 61—64 (англ.).—Бораты редкоземельных элементов (РЗЭ) типа MBO_3 получены взаимодействием окислов В и РЗЭ в эквимолярных отношениях при $1200—1400^\circ$ на воздухе. Бораты Y и Sm—Lu изоструктурны с ватеритом $\mu\text{-CaCO}_3$ и имеют температуры плавления $> 1400^\circ$. Резюме автора

2.1962.12

III зр Р.3.
Триборан-
наты
редкоземель-
ных металлов

23 В12. Возгоняемые триборанаты редкоземельных металлов. Rossmanith K. Destillierbare Tri-borionate der Seltenerdmetalle. «Monatsh. Chem.», 1964, 95, № 4—5, 1424—1432 (нем.)

1964

Исследовано поведение $MCl(BH_4)_2$, где $M=Y$, Dy , Ho , и $ErCl_2BH_4$ при нагревании в вакууме осажденных из р-ра тетрагидрофурана (Thf) сольватов состава $MCl(BH_4)_2 \cdot 2Thf$ (I) и $ErCl(BH_4)_2 \cdot 3Thf$. Установлено, что в интервале 120—160° I образуют возгоняемые триборанаты $M(BH_4)_3$ (II), выделяющиеся в виде маслобобразных дистиллятов на охлажд. местах перегонной трубки и кристаллизующиеся при дальнейшем охлаждении. Выход II увеличивается с возрастанием ат. веса M от 6,1% для Dy до 18,0% для Ho. Добавление к исходной шихте $LiBH_4$ увеличивает выход II от 13,2 до 36,0%. Вследствие содержаний в дистилляте 1 моля Thf сделано предположение, что первоначально несолвватированные II при охлаждении взаимодействуют с Thf с образованием устойчивых при ~20° сольватов. Образование II может быть использовано для разделения РЗЭ, так как $M^1Cl(BH_4)_2$, где $M^1=Sm$, Gd и Tb , в аналогичных условиях образуют нелетучие кристаллич. соединения хлордиборанатов $M^1Cl(B_2H_6)$.

М. Савельева

χ. 1965-23

1966

AbVO₃

16 Б332. Бораты редкоземельных элементов ABO_3 типа ватерита. Bradley W. F., Graf D. L., Roth R. S. The vaterite-type ABO_3 rare-earth borates. «Acta crystallogr.», 1966, 20, № 2, 283—287 (англ.)

Проведены оптич. измерения, ИК-спектроскопия и рентгенографич. исследование (дифрактометрич. метод порошка, $\lambda \text{ Cu} = K_{\alpha}$) низкот-рной (I) и высокот-рной (II) форм YbBO_3 . Параметры гексагон. решетки I: $a = 6,46$, $c = 8,74$ Å; $Z = 6$, ф. гр. $P6c2$; II: $a = 7,135$, $c = 8,524$, $Z = 6$, ф. гр. $P6_322$. Для структуры I получена вероятная модель, основным мотивом к-рой являются 3-членные кольца из BO_4 -тетраэдров с принятым расстоянием $\text{B}-\text{O}$ 1,46 Å. Последние соединяют одиночные слои из Yb -октаэдров и полиэдров (КЧ 12). В II установлен структурный тип ватерита, CaCO_3 . Расстояния $\text{B}-\text{O}$ 1,35 (в треугольниках); $\text{Yb}-\text{O}$ 2,26 (в октаэдре) и 2,4—2,9 Å (в 12-вершиннике).

Н. Баталиева

Х. 1966. 16

Ланьюнгит-метабораты

1967

81941m Interaction of rare earth oxides with sodium oxide-boron oxide melts. B. F. Dzhurinskii, I. M. Belyakov, I. V. Tananaev (Inst. Obschch. Neorg. Khim. im. Kurnakova, Moscow). *Izv. Akad. Nauk SSSR, Neorg. Mater.* 3(10), 1876-80 (1967)(Russ). Soly. data were obtained for $\text{Na}_2\text{O}-\text{B}_2\text{O}_3-\text{Ln}_2\text{O}_3$ systems ($\text{Ln} = \text{Sm}, \text{Gd}, \text{Tb}, \text{Dy}, \text{or Er}$). This information is necessary for growing rare-earth borates in the single-crystal or coarsely cryst. state. The method of isothermal satn. at 900° was used for this study. The compn. of the solid phases was characterized. The thermal stability of the metaborates of the type $\text{Ln}(\text{BO}_2)_3$ was detd. by D.T.A. The m.p. (decompn. temp.) of the metaborates decreases from La to Tb.

S. A. Mersol

Bip - Yiff + VH

C. A. 1968 · 68 · 18

дн - В-сост

Gd

Tb

метабораты

Джурин

Б311. О структуре метаборатов Gd и Tb. Пахомов В. И., Сильницкая Г. Б., Джуринский Б. Ф. «Изв. АН СССР. Неорганические материалы», 1971, 7, № 3, 539

1971

Рентгенографическое исследование (методы качания и КФОР'a, λ Mo) кристаллов $Gd(BO_2)_3$ (I) выращенных из стронциево-боратного расплава при 1050° и $Tb(BO_2)_3$ (II) (выращенных из расплава состава $Na_2O \cdot 17B_2O_3$, насыщенного Tb_2O_3 при т-ре 900°) не согласуется с ранее установленной для них изоструктурностью (РЖХим, 1970, 14Б549). I, как и метабораты La, Nd, Sm, Eu, принадлежит к монокл. сингонии с ф. гр. I $2/a$ и параметрами решетки: a 6,27, b 8,08, c 7,83, β 94, ρ (эксп.) 4,81, ρ (выч.) 4,83, $Z=4$, в то время как II обладает ромбич. решеткой с параметрами: a 12,39, b 16,06, c 7,37 Å, ρ (эксп.) 4,94, ρ (выч.) 5,21, $Z=16$, ф. гр. $Pbnm$ или $Pbn2_1$.

С. В. Рыкова

X. 1971

. 15

Бориды редкоземельн.
железов

1981

19 Б380. Новые бориды редкоземельных металлов
со структурой типа $\text{SrNi}_{12}\text{B}_6$. Кузьма Ю. Б., Чер-
няк Г. В., Чабан Н. Ф. «Докл. АН УССР», 1981,
A, № 12, 81—84 (рез. англ.)

X. 1982, 19, №.

Eu₃(BO₃)₂

19 Б511. Кристаллическая структура и магнитные свойства ортобората двухвалентного европия. Machida Ken-ichi, Adachi Gin-ya, Hata Hajime, Shiokawa Jiro. The crystal structure and magnetic property of europium(II) orthoborate. «Bull. Chem. Soc. Jap.», 1981, 54, № 4, 1052—1055 (англ.)

1981

Изучен дифрактометр, λ Mo, $R=0,082$ по 259 отражениям, изотропные т-рные факторы, положения О и В определены по синтезу Фурье) $\text{Eu}_3(\text{BO}_3)_2$, полученный при нагревании смеси порошка $\text{Eu}_3(\text{BO}_3)_2$ и KCl в Mo тигле до 1050° в течение 2 час. в токе H_2 с послед. остыванием до 750° со скоростью $3^\circ/\text{час}$. Кристаллы гексагон., a 9,0069, c 12,542, ρ (изм.) 6,31, ρ (выч). 6,40, $Z=6$, ф. гр. $R\bar{3}c$. Изолированные треугольники BO_3 перпендикулярны оси c , расстояния В—О 1,36. Коорд. ч. Eu=8, Eu—O 2,36—2,95. Расстояние каждого Eu до 8 ближайших Eu 3,509—4,200, до 6 второй сферы 4,831—5,450. Соединенные ферромагнитно, точка Кюри 7,5 К, парамагнитная т-ра Кюри 8 К. Ниже точки Кюри магнитное насыщение 7 $\mu\text{в}$. Изучены прямые и сверхобменные взаимодействия Eu^{2+} с

Tet

углами $\text{Eu}^{2+}\text{O}^2-\text{Eu}^{2+}$ $82,7^\circ$ и $80,1-99,9^\circ$. Проведено сравнение с Eu_2TiO_4 .

И. С. Наумова

21981 N 19

LnBGeO₅

1989

16 В6. Синтез и исследование боратогерманатов РЗЭ LnBGeO_5 / Лысанова Г. В., Джуринский Б. Ф., Комова М. Г., Царюк В. И., Тананаев И. В. // Изв. АН СССР. Неорган. матер.— 1989.— 25, № 4.— С. 632—636.— Рус.

(II m)

Методом твердофазных р-ций из оксидов РЗЭ, германия и борной к-ты, боратов и германатов РЗЭ, а также продуктов соосаждения из р-ров синтезировали боратогерманаты LnBGeO_5 ($\text{Ln} = \text{La}, \dots, \text{Er}, \text{Y}$). Установлено, что соединения LnBGeO_5 , полученные твердофазным взаимодействием, образуют две структурные группы: $\text{Ln} = \text{La}$, Pr (1), $\text{Ln} = \text{Nd}, \dots; \text{Er}, \text{Y}$ (2). К первой из них отнесены также боратогерманаты неодима, самария и европия, синтезированные в метастабильном состоянии отжигом продуктов соосаждения из р-ров. Соединения LnBGeO_5 структурной группы (1) изоструктурны с природным минералом стилуэллитом $(\text{La}, \text{Ce})\text{BSiO}_5$. Определены т-ры и характер плавления боратогерманатов LnBGeO_5 ($\text{Ln} = \text{La}, \dots, \text{ Tb}$), т-ры термич. разл. в тв. состоянии соединений LnBGeO_5 ($\text{Ln} = \text{Dy}, \dots, \text{Er}, \text{Y}$), а также фазовый состав образовавшихся при этом продуктов.

Резюме

Х. 1989, N/6

$\text{Ln}(\text{BH}_4)_3$

1990

(On 34585)

114: 235904j Estimation of the standard heat capacity of rare earth borohydrides. Badalov, A. (USSR). *Dokl. Akad. Nauk Tadzh. SSR* 1990, 33(5), 316-19 (Russ). A modification of the M. Kh. Karapet'yanets method (1965) and such data as available in the literature were used to est. the heat capacities of a series of rare earth borohydrides ($M(\text{BH}_4)_3$). To confirm the validity of the method, estd. values for chlorides, fluorides and hexaborides were compared to the exptl. data.

(ΔH_f , observed)

C.A. 1991, 114, n 24

$\text{Ln}(\text{BH}_4)_3$ от 34585 1990

4 Б3015. Оценка стандартной теплоемкости борогидридов редкоземельных металлов / Бадалов А. // Докл. АН ТаджССР.— 1990.— 33, № 5.— С. 316—319.— Рус.; рез. тадж.

С использованием метода сравнительного расчета Карапетьянца оценены теплоемкости борогидридов РЗЭ общ. ф-лы $M(\text{BH}_4)_3$. Получены значения C_p^o , 298,15 для $M = \text{La}$ 369 ± 4 , Ce 369 ± 4 , Pr 370 ± 4 , Nd 370 ± 4 , Pm 370 ± 4 , Sm 371 ± 4 , Eu 371 ± 4 , Gd 371 ± 4 , Tb 371 ± 4 , Dy 372 ± 5 , Ho 372 ± 5 , Er 373 ± 5 , Tm 373 ± 5 , Yb 374 ± 5 , Lu 374 ± 5 Дж/моль·К. А. Л. М.

Х. 1991, № 4

бюроны
негре Туцатов М.С., Багаров А.,
РЗМ и гр.,
1990

Из. Ак Тажик ССР. Оңын
жүйесінде, күмінде және А.
Дүшанбе, 1990, 38с.
(алғаш)

(ал. ахомориев-
негре РЗМ, I)

1991

Лебедев

Ln-La, Nd

(Tz2)

1 Е928. Полиморфизм соединений LnBGeO_5 / Бело-
конева Е. Л., Милль Б. В., Буташин А. В., Каминс-
кий А. А. // Неорган. матер.— 1991.— 27, № 8.— С.
1700—1707

Методами рентгеноструктурного и абсорбционно-
люминесцентного анализов изучен полиморфизм соеди-
нений LnBGeO_5 (Ln—La, Nd). Кристалл LaBGeO_5 —
 Nd^{3+} является новым неорганическим лазерным матери-
алом. Определена структура моноклинной модифика-
ции NdBGeO_5 , оказавшейся аналогом датолита $\text{CaBSi}-$
 $\text{O}_4(\text{OH})$. Переход от стилвеллитовой модификации к
датолитовой и понижение к. ч. Ln^{3+} с 9 до 8 обуслов-
лены уменьшением размера Ln^{6+} . Результаты рентге-
ноструктурного анализа и спектроскопич. изучения
показывают, что LnBGeO_5 относятся к простым одно-
центровым соединениям с упорядоченной структурой.

оф. 1992, № 1

LnBO₃
*(Ln=Pr, Sm,
Eu, Yb)*

1991

15 B13. Синтез, описание и магнитные свойства некоторых соединений LnBO₃ (Ln=Pr, Sm, Eu и Yb). Synthesis, characterization and magnetic properties of some LnBO₃ (Ln=Pr, Sm, Eu and Yb) compounds / Laureiro Y., Veiga M. L., Fernandez F., Saez-Puche R., Jerez A., Pico C. // J. Less-Common Metals.— 1991.— 167, № 2.— С. 387—393.— Англ.

*Магнитные
св-ва*

Ортобораты LnBO₃ (Ln=Pr, Sm, Eu и Yb) получены нагреванием смесей стехиометрич. кол-в соотв-щих гидроксидов Ln(OH)₃ и ортоборной к-ты B(OH)₃ при т-рах 873—973 К и давл. 10⁻⁴—10⁻⁵ мм рт. ст. Изучены ИК-спектры и выполнен РФА полученных ортоборатов. Измерена магнитная восприимчивость ортоборатов в интервале т-р 4,2—300 К. Установлено, что магнитная восприимчивость PrBO₃ и YbBO₃ подчиняется

закону Кюри-Вейса в интервале т-р 300—30 К, при более низких т-рах отмечено отклонение от закона. Обсуждены также т-рные зависимости магнитной восприимчивости SmBO₃ и EuBO₃.

X. 1991, N 15

1997

F: Ln2O3-B2O3-XO2

P: 1

1Б2403. Стеклокристаллические текстуры на основе полярных фаз / Сигаев В. Н., Саркисов П. Д., Стефанович С. Ю. // Материаловедение. - 1997. - 3. - С. 35-44. - Рус.

Рассмотрено новое направление в физико-химии стекла-материаловедение электрически активных полярных стеклокристаллических диэлектриков для электронной техники. Явление квазиодномерного упорядочения в стеклах использовано в качестве основы для развития стеклокристаллической технологии сегнето-, пьезо-,

пироэлектрических текстур, электрические характеристики которых могут приближаться к характеристикам монокристаллов. Выявлен ряд стеклообразующих систем $[Ln_2O_3]$ - B_2O_3 - XO_2 ($Ln=La, Ce, Pr, Sm; X=Si, Ge$), MeO - B_2O_3 - P_2O_5 ($Me=Ca, Sr, Ba, Pb$), K_2O - Nb_2O_5 - XO_2 ($X=Si, Ge$), Li_2O - PbO - P_2O_5 , PbO - GeO_2) и определены области составов (вблизи составов $LnBXO_5$, $MeBPO_5$, $KNbXO_5$, $KNbX_2O_7$, $LiPbPO_4$ и $PbGe_4O_9$), перспективные для получения сегнетоэлектрических текстур в стеклокристаллическом состоянии. Предложены оригинальные методики, позволяющие управлять процессом ориентированной кристаллизации стекла.

Получены сегнетоэлектрические стеклокристаллические текстуры на основе стилвеллитоподобных фаз $LnBGeO_5$ с высокими и хорошо воспроизводимыми пироэлектрическими свойствами.

1999

F: Ln₃B₂N₄

P: 1

131:124480 The nitrido borates Ln₃B₂N₄ (Ln = La-Nd) and La₅B₄N₉. Synthese structures, and properties. Reckeweg, Olaf; Meyer, H.-Jurgen (Institut Anorganische Chemie, Univ. Tübingen, Tübingen D-72076, Germany). Z. Anor Allg. Chem., 625(6), 866-874 (English) 1999 Single crystals of the lanthanide nitrido borates Ln₃B₂N₄ (Ln = La-Nd) a La₅B₄N₉ were obtained from reactions of lanthanide metal powder, lanthani nitride powder, and hexagonal BN in CaCl₂ melts. The isotypic compds. Ln belong to the space group Immm (#71), Z = 2, with the lattice parameters La₃B₂N₄: a = 362.94(3), b = 641.25(6), c = 1097.20(8) pm; Ce₃B₂N₄: a = 356.20(3), b = 631.90(6), c =

C.A.1000, 131

1071.91(8) pm; Pr₃B₂N₄: a = 353.46(4), b = 630.04(13), c = 1079.04(23) pm, and Nd₃B₂N₄: a = 351.52(4), b = 627.01(15) pm. The structure of La₅B₄N₉ was detd. in the space group Pb (#57), Z = 4, with a = 988.25(5); b = 1263.48(7), c = 770.33(4) pm. These structure types resemble 3 kinds of nitrido borate anions, the oxalate an B₂N₄ of Ln₃B₂N₄, and the carbonate analog BN₃ together with the 6-membered system B₃N₆ of La₅(BN₃)(B₃N₆). In contrast to the valence compd. La₅B₄N₉ compds. (Ln³⁺)₃(B₂N₄)₈-(e-) contain 1 electron in the conduction band, yet temp. independent paramagnetism for La₃B₂N₄. The calcd. electronic struc developed through the formation B₂N₄⁸⁻ ions by dimerization of 2 BN₂ unit

2001

MB_6

($M = La, Ce,$
 $Pr, Nd, Sm,$
 $Eu, Gd, Tb,$

Dy

($C_p(T), \theta_D$)

134: 184080r Components of the Low-Temperature Heat Capacity of Rare-Earth Hexaborides. Novikov, V. V. (Bryansk State Pedagogical University, Bryansk, Russia 241036). *Phys. Solid State* 2001, 43(2), 300–304 (Eng), MAIK Nauka/Interperiodica Publishing. The temp. dependence of heat capacity $C_p(T)$ was studied for nine rare-earth hexaborides MB_6 ($M = La, Ce, Pr, Nd, Sm, Eu, Gd, Tb$, and Dy) at temps. of 5–300 K. Using the correspondence principle for lattice heat capacities of isostructural compds., the lattice contribution $C_l(T)$ and the excess contribution $\Delta C(T)$ to the heat capacity of the hexaborides were detd. The lattice heat capacity is represented as the sum of the Debye contributions of the metal and boron sublattices: $C_l(T) = C_M(T) + 6C_B(T)$. The Debye temps. θ_M and θ_B of the metal and boron sublattices were detd. The anomalies in the excess heat capacity $\Delta C(T) = C_p(T) - C_l(T)$ are related to the magnetic ordering effects, the Schottky contribution, and the Jahn–Teller effect.

C. A. 2001, 134, 1/3

$\text{LnB}_6 - \text{SiC}$

2002

F: $\text{LnB}_6\text{-SiC}$ ($\text{Ln}=\text{La}, \text{Gd}, \text{Ce}, \text{Yb}$)

P: 1

04.01-19Б3.55. Взаимодействие в системах SiC-LnB [6] /
Юрченко О. В. (6340 Томск, просп. Ленина, 30) //
Материалы 2 Всероссийской научной конференци "Химия и
химическая технология на рубеже тысячелетий", Томск, 26-
28 нояб. 2002. Т. 1. - Томск, 2002. - С. 189-190. - Рус.
Исследовано взаимодействие в системах LaB [6]- SiC ,
 GdB [6]- SiC , CeB [6]- SiC YB [6]- SiC . Определены температуры

$\text{LnB}_6 - \text{SiC}$

плавления и эвтектики. Оцененные темпер эвтектики в
изученных системах лежат в интервале температур
2110-2290 $^{\circ}\text{C}$. 4.